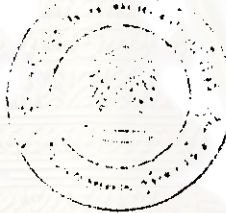


การเตือนสภาพของสีเอ ไซในน้ำ โดยใช้แสงร่วมกับตัวเร่งปฏิกิริยา

นางสาวกัญญา เมดินผล



วิทยานิพนธ์นี้เป็นส่วนหนึ่งของการศึกษาตามหลักสูตรปริญญาวิทยาศาสตร์บัณฑิต

ภาควิชาวัฒนศาสตร์

บัณฑิตวิทยาลัย มหาดเล็กกรุงเทพมหานคร

ปีการศึกษา 2539

ISBN 974 - 636 - 805 - 2

ลิขสิทธิ์ของบัณฑิตวิทยาลัย มหาดเล็กกรุงเทพมหานคร

PHOTOCATALYTIC DEGRADATION OF SOME AZO DYES IN WATER

Miss Kanjana Padermpol

A Thesis Submitted in Partial Fulfillment of the Requirements

for the Degree of Master of Science

Department of Materials Science

Graduate School

Chulalongkorn University

Academic Year 1996

ISBN 974 - 636 - 805 - 2

Thesis Title Photocatalytic Degradation of Some Azo Dyes in Water

By Miss Kanjana Padermpol

Department Materials Science

Thesis Advisor Asst. Prof. Khemchai Hemachandra, Ph.D.

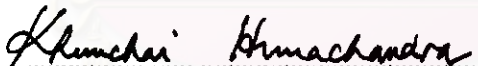
Thesis Coadvisor Ms. Pissamai Likitbannakorn

Accepted by the Graduate School, Chulalongkorn University in Partial Fulfillment of
the Requirements for the Master's Degree/

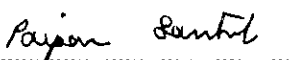

..... Dean of Graduate School
(Prof. Supawat Chutivongse, M.D.)

Thesis Committee


..... Chairman
(Assoc.Prof. Werasak Udomkichdecha, Ph.D.)


..... Thesis Advisor
(Asst. Prof. Khemchai Hemachandra, Ph.D.)


..... Thesis Coadvisor
(Ms. Pissamai Likitbannakorn)


..... Member
(Asst.Prof. Paiparn Santisuk)

พิมพ์ดันดับนักศึกษาวิทยานิพนธ์ภายในกรอบสีเขียวนี้เพียงแผ่นเดียว

การยุ่งนา เพศิน พต : การเตือนสภาพของสีเอ ไซในน้ำโดยใช้แสงร่วมกับตัวเร่งปฏิกิริยา

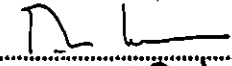
(PHOTOCATALYTIC DEGRADATION OF SOME AZO DYES IN WATER)

อ.ที่ปรึกษา : ดร.ดร.เป็นชัย เหนบจันทร์, อ.ที่ปรึกษาร่วม : นางพิศณุ ลิจิตรบรรยการ,

70 หน้า ISBN 974-636-805-2

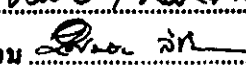
การวิจัยนี้มีจุดมุ่งหมายเพื่อศึกษาถึงการเตือนสภาพของสีเอ ไซบางตัวในน้ำ โดยใช้ปฏิกิริยาของแสงร่วมกับตัวเร่งปฏิกิริยาทางเคมีโดยออกไซด์ ที่ความยาวคลื่นแสงมากกว่า 310 นาโนเมตร สีเอ ไซที่ใช้ในการทดลองนี้ได้แก่ acid orange 7, acid yellow 17, orange G, tartrazine, new coccine โดยเป็นสีที่มีหมู่เอ ไซ 1 หมู่ และ acid black 1, congo red โดยเป็นสีที่มีหมู่เอ ไซ 2 หมู่ ผลการวิจัยพบว่า สีเอ ไซ 7 ตัวที่ใช้ในการทดลองนี้สามารถถ่ายตัวได้โดยใช้แสงร่วมกับตัวเร่งปฏิกิริยาทางเคมีโดยออกไซด์ และการเตือนสภาพของสีเอ ไซ โดยใช้แสงร่วมกับตัวเร่งปฏิกิริยาทางเคมีโดยออกไซด์เกิดขึ้นได้เร็วกว่า การเตือนสภาพของสีโดยใช้ปฏิกิริยาทางเคมีแต่เพียงอย่างเดียว อัตราการเตือนสภาพของสีเอ ไซเพิ่มขึ้นเมื่อเพิ่มปริมาณทางเคมีโดยออกไซด์ในปฏิกิริยา ปริมาณทางเคมีโดยออกไซด์ที่เหมาะสมในการวิจัยนี้คือ 75 มิลลิกรัม ที่ความเข้มข้นสารละลายสีสูงขึ้นเมื่อตัวการเตือนสภาพของสีต่ำกว่าที่ความเข้มข้นสารละลายสีต่ำ ที่ความเข้มข้นของสีที่เหมาะสมในการวิจัยนี้คือ 1×10^{-4} มิลลิกรัม โครงสร้างของสีเอ ไซมีผลต่อการเตือนสภาพของสี โดยสีที่มีกลุ่มเอ ไซเพียงหมู่เดียวมีการเตือนสภาพได้เร็วกว่าสีที่มีหมู่เอ ไซ 2 หมู่ อัตราการเตือนสภาพของสีเอ ไซเรียงลำดับจากมากไปน้อยคือ acid orange 7 > orange G > acid yellow 17 > new coccine > tartrazine > acid black 1 > congo red จากการทดลองพบว่า พิเศษ เริ่มต้นของสารละลายสีในชั่ว 4 ถึง 6 มิตตองอัตราการเตือนสภาพของสี acid orange 7 น้อยมาก แต่อัตราการเตือนสภาพของสีเพิ่มขึ้นเมื่อพิเศษ เริ่มต้นของสารละลายสีลดลงจาก 4 ถึง 2 ที่ความเข้มข้นของสีไม่เกิน 1×10^{-4} M สีเอ ไซทุกตัวเกิดการถ่ายตัวย่างสมบูรณ์ภายในเวลา 4 ชั่วโมง ยกเว้นสี congo red ใช้เวลามากกว่า 7 ชั่วโมง ในขณะที่สีเอ ไซเกิดการเตือนสภาพมีสารใหม่เกิดขึ้นระหว่างปฏิกิริยาคือ พินอต ไซ ไครคิวโนน ไซเดียมซัลฟอนิเตา กรณานาโนนิก กรณานาโนติก กรณานาโนซิตริก กรณานาโนโซลฟิก กรณานาโนฟอร์มิก กรณานาโนกอติก กรณานาโนพูนากลิก และ กรณานาโนซิติก ซึ่งการเหล่านี้ได้ถ่ายตัวต่อไป และได้ ควรบันทึกโดยออกไซด์ ไอออนในเตรต ไอออนในไทด์ ไอออนแอนโนนิเมียม และ ไอออนซัลเฟทเป็นสารกตุณสุดท้ายที่เกิดขึ้นเนื่องจากการถ่ายตัวของสีเอ ไซ

ภาควิชา ...วิศวกรรมศาสตร์

ตามนิยชื่อนักศึกษา 

สาขาวิชา ...วิทยาศาสตร์ทดลองร่วมกับทางเคมีและทางเคมีเคมีสิ่งแวดล้อม ตามนิยชื่ออาจารย์ที่ปรึกษา / พญ. อรุณรัตน์ วงศ์สุวรรณ / พญ. อรุณรัตน์ วงศ์สุวรรณ

รุปแบบการศึกษา 2539

ตามนิยชื่ออาจารย์ที่ปรึกษาร่วม 

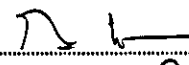
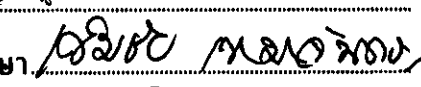
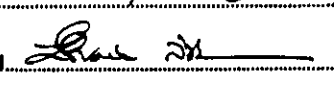
C626157 : MAJOR MATERIALS SCIENCE

KEY WORD: PHOTOCATALYTIC DEGRADATION / AZO DYE / TITANIUM DIOXIDE

KANJANA PADERMPOL : PHOTOCATALYTIC DEGRADATION OF SOME AZO DYES IN WATER. THESIS ADVISOR : ASST. PROF. KHEMCHAI HEMACHANDRA, Ph.D. THESIS COADVISOR : MRS. PISSAMAI LIKITBANNAKORN 70 pp.

ISBN 974-636-805-2

This research aims to study the photocatalytic degradation in water of seven azo dyes using titanium dioxide as a catalyst at wavelength above 310 nm. Azo dyes used are monoazo dyes (acid orange 7, acid yellow 17, orange G, tartrazine and new coccine) and diazo dyes (acid black 1 and congo red). It is found that all azo dyes are photocatalytically degraded. The rate of photocatalytic degradation is higher than that of photodegradation. The degradation rate increases with the amount of titanium dioxide . Suitable amount of titanium dioxide for decomposition of seven azo dyes in this study is 75 mg. Degradation rates of high-concentration of acid orange 7 are less than those of low-concentration. Suitable dye concentration of this study is 1×10^{-4} M. The degradation rate of dyes depends on the chemical structures. Diazo dyes were less degradable than monoazo dyes. The degradation rate of the seven azo dyes are as follows : acid orange 7 > orange G > acid yellow 17 > new coccine > tartrazine > acid black 1 > congo red. Degradation rate of acid orange 7 is nearly independent to the initial pH of dye solutions in range of 4 to 6; however, the rate increased when the initial pH is in the range of 4 to 2. At concentration of dye solution not exceeded 1×10^{-4} M, azo dyes are completely mineralized within 4 hours, except congo red which took time more than 7 hours. Intermediates identified during the degradation are hydroxylated aromatics (phenol, hydroquinone and sodium sulfanilate) and organic acids (malonic acid, maleic acid, citric acid, glyoxalic acid, formic acid, glycolic acid, fumaric acid and acetic acid). These intermediates further degrade and produce nitrate ion, nitrite ion, ammonium ion, sulfate ion and carbon dioxide as final degradation products.

ภาควิชา วัสดุศาสตร์ ลายมือชื่อนิสิต 
สาขาวิชาวัสดุศาสตร์พอกิมโนร์ประยุกต์และเทคโนโลยีชิ้งช้า ลายมือชื่ออาจารย์ที่ปรึกษา 
ปีการศึกษา 2539 ลายมือชื่ออาจารย์ที่ปรึกษาร่วม 

ACKNOWLEDGEMENT

I wish to express my thanks to Materials Science Department; Chulalongkorn University, Textile Industry Division; Ministry of Industry, and Government of Japan through the National Institute of Materials and Chemical Reserch (NIMC) for providing me the technological knowledge and encouragement throughout the course of this work.

I would like to thanks Dr. Khemchai Hemachandra, Ms. Pissamai Likitbanakorn and Dr. K. Tanaka for their excellent guidance, assistance and helpful discussion.

Finally, I wish to express my sincere gratitude to my father, mother, and friends for their encouragement throughout my course of study.

สถาบันวิทยบริการ
จุฬาลงกรณ์มหาวิทยาลัย

CONTENTS

	page
Abstract (Thai)	i
Abstract (English)	ii
Acknowledgement	iii
List of figures	v
List of tables	viii
Chapter I Introduction	1
Chapter II Textile dyes	5
Chapter III Semiconductor photocatalysis	24
Chapter IV Experimental	30
Chapter V Result and Discussion	34
Chapter VI Conclusion	50
Chapter VII Recommendation for future	51
Reference	52
Appendix	56
VITA	70

LIST OF FIGURES

Figure		page
2.7.1	Conjugated carbonyl groups	12
2.7.2	Group as the parent system of indigo dyes	12
2.7.3	Anthraquinone	13
3.1	Primary steps in the photoelectrochemical mechanism	26
4.1	Structure of studied azo dyes	31
4.2	Photocatalytic degradation apparatus	32
5.1	Disappearance rate of acid orange 7 in solution of 2×10^{-4} M by photodegradation and by photocatalytic degradation with TiO_2	34
5.2	Disappearance rate of acid orange 7 on the photocatalytic degradation with 75 mg of TiO_2	35
5.3	Disappearance rate of azo dyes in solution of 10^{-4} M by photocatalytic degradation	36
5.4	Effect of initial pH of dye solution on photocatalytic degradation of acid orange 7, initial concentration = 10^{-4} M	38
5.5	Disappearance of TOC in 1×10^{-4} M of dye solution during photocatalytic degradation with 75 mg of TiO_2	39
5.6	Formation of organic acids in 1×10^{-4} M of orange G during photocatalytic degradation with 75 mg of TiO_2	40

Figure	page
5.7 Formation of organic acids in 1×10^{-4} M of acid orange 7 during photocatalytic degradation with 75 mg of TiO_2	----- 41
5.8 Formation of organic acids in 1×10^{-4} M of acid yellow 17 during photocatalytic degradation with 75 mg of TiO_2	----- 41
5.9 Formation of organic acids in 1×10^{-4} M of tartrazine during photocatalytic degradation with 75 mg of TiO_2	----- 42
5.10 Formation of organic acids in 1×10^{-4} M of new coccine during photocatalytic degradation with 75 mg of TiO_2	----- 42
5.11 Formation of organic acids in 1×10^{-4} M of acid black 1 during photocatalytic degradation with 75 mg of TiO_2	----- 43
5.12 Formation of organic acids in 1×10^{-4} M of congo red during photocatalytic degradation with 75 mg of TiO_2	----- 43
5.13 Formation of NH_4^+ , NO_3^- , NO_2^- , and SO_4^{2-} in 1×10^{-4} M dye solution of acid yellow 17 during photocatalytic degradation with 75 mg of TiO_2	----- 44
5.14 Formation of NH_4^+ , NO_3^- , NO_2^- , and SO_4^{2-} in 1×10^{-4} M dye solution of acid black 1 during photocatalytic degradation with 75 mg of TiO_2	----- 45

Figure	page
5.15 Formation of NH_4^+ , NO_3^- , NO_2^- , and SO_4^{2-} in 1×10^{-4} M dye solution of orange G during photocatalytic degradation with 75 mg of TiO_2	45
5.16 Possible degradation pathway of studied azo dyes	47

สถาบันวิทยบริการ
จุฬาลงกรณ์มหาวิทยาลัย

LIST OF TABLES

Table	page
5.1 Pseudo first order rate constant (k_1) of 1×10^{-4} M of dyes ----- by photocatalytic degradation; photodegradation rate constant (k); absorption coefficient (K) of dyes by photocatalytic degradation in range 5×10^{-5} M - 1×10^{-3} M	37

สถาบันวิทยบริการ
จุฬาลงกรณ์มหาวิทยาลัย